

Chapitre I Modélisation physique

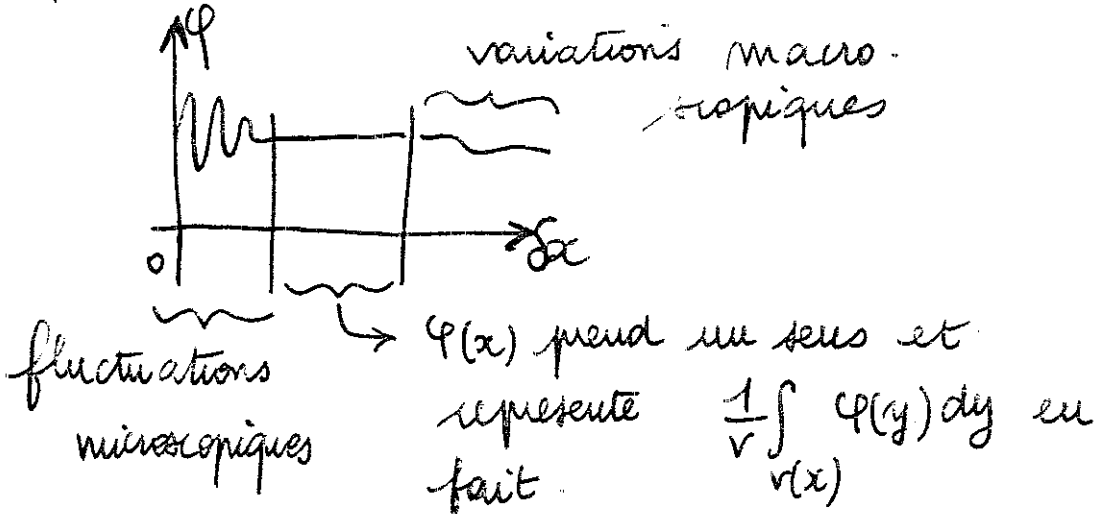
- 1) le fluide comme milieu continu
- 2) hydrostatique
- 3) Cinématique
- 4) Conservation de la masse
- 5) Continuités
- 6) Modélisation des continuités
- 7) Hydrodynamique et dynamique des gaz
- 8) Thémostatique
- 9) Conservation de l'énergie
- 10) Dissipation de l'entropie .

1) Le fluide comme milieu continu.

- description de l'ingénieur : champ $\varphi(x, t)$ continu .

A quelle échelle regarde-t-on x ?

φ = pression, température, vitesse, masse volumique



- étre parours moyen

Moyenne de distance entre deux collisions
hélium gazeux vitesse thermique moyenne \bar{u}

$$\frac{1}{2} m \bar{u}^2 = \frac{3}{2} k_B T \quad \bar{u} \approx 1370 \text{ m/s}$$

1 atome d'hélium ↑ esté de Boltzmann

$$l_{\text{pm}} = \frac{1}{\sqrt{2} n \sigma_c} \quad \left\{ \begin{array}{l} \sigma_c = \text{section efficace atome hélium} \\ n = \text{nb atomes / unité de volume} \end{array} \right.$$

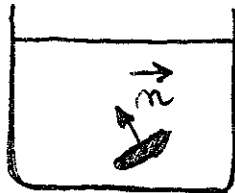
$$\text{apr } (l_{\text{pm}}) \sigma_c = \frac{1}{\sqrt{2}} \frac{\text{volume moléculaire}}{\text{nb atomes}}$$

1 particule ds cylindre de section $\sigma_c = 10^{-20} \text{ m}^2$
et de lg $l_{\text{pm}} = 2,6 \cdot 10^{-6} \text{ m}$

2) Hydrostatique

Le fluide sans mouvement

- Liquide au repos.



force s'appliquant sur une facette

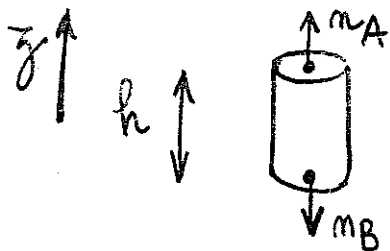
$$d\vec{S} = \vec{n} d\gamma$$

Cette force ne dépend pas de la normale.

(Pascal ; 1650) $d\vec{f} = -p \vec{n} d\gamma$

$p > 0$ la pression (hydro) statique.

- Variation de pression d'un fluide pesant

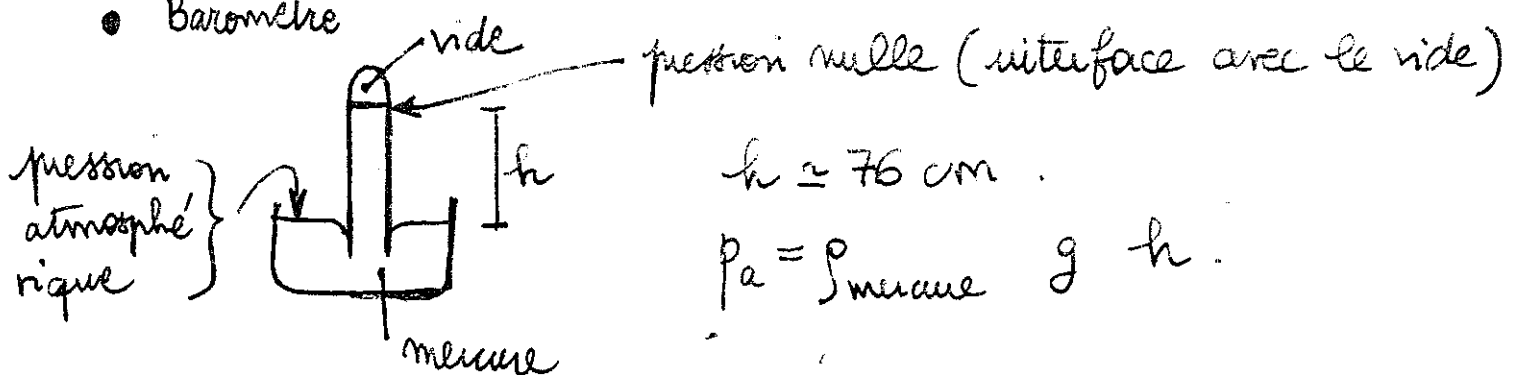


$$-p g h dS + p_B dS - p_A dS = 0$$

$$p_B = p_A + \rho g h$$

la somme des forces appliquées à la colonne de section dS est nulle.

- Baromètre



$$h \approx 76 \text{ cm.}$$

$$p_a = \rho_{mérure} g h$$

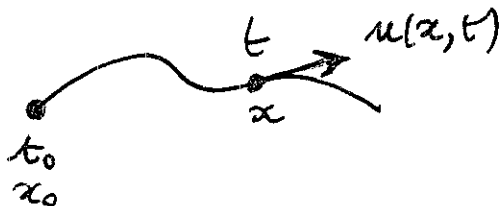
3) Cinématique

$u(x, t)$ champ de vitesse

- on regarde passer le train
→ point de vue de Euler (≈ 1750)
on monte dans le train
→ point de vue de Lagrange (≈ 1800) .
- Trajectoire d'une particule (courbe caractéristique)

$$\begin{cases} \frac{dx}{dt} = u(x(t), t) \\ x(t_0) = x_0 \end{cases} \quad \begin{array}{l} \text{équation différentielle} \\ \text{ordinaire} \end{array}$$

$$x(t_0, x_0; t)$$



- Domaine que l'on suit dans son mouvement

$$t = t_0 \quad \Omega_0$$

$$t \quad \Omega(t) = \{x(t_0, x_0; t), x_0 \in \Omega_0\}$$

- Dérivée convective (en particulier, en lagrangienne)
↳ relie les points de vue de Euler et de Lagrange.
Évolution du champ φ sur la trajectoire.

$$t \mapsto \Psi(t) = \varphi(x(t_0, x_0; t), t)$$

$$\frac{d\Psi}{dt} = \nabla \varphi \cdot \frac{dx}{dt} + \frac{\partial \varphi}{\partial t} = \frac{\partial \varphi}{\partial t} + u \cdot \nabla \varphi$$

4) Conservation de la masse

- Formule d'intégration par parties Green (?)

$$\int_{\Omega} \frac{\partial u}{\partial x_j} dx = \int_{\partial\Omega} u n_j d\gamma \quad \left. \begin{array}{l} \text{la seule à} \\ \text{savoir !} \end{array} \right\}$$

$n = \text{normale extérieure.}$

donc $\int_{\Omega} \operatorname{div} \varphi dx = \int_{\partial\Omega} \varphi \cdot n d\gamma$

$$\int_{\Omega} u \frac{\partial v}{\partial x_j} dx = - \int_{\Omega} \frac{\partial u}{\partial x_j} v dx + \int_{\partial\Omega} u v n_j d\gamma$$

$$\int_{\Omega} \nabla u \cdot \varphi dx = - \int_{\Omega} u \operatorname{div} \varphi dx + \int_{\partial\Omega} u \varphi \cdot n d\gamma$$

$$\int_{\Omega} \varphi \operatorname{rot} \varphi dx = \int_{\Omega} \operatorname{rot} \varphi \cdot \varphi dx + \int_{\partial\Omega} (\varphi \times n) \cdot \varphi d\gamma$$

$$(\operatorname{rot} \varphi)_i = \varepsilon_{ijk} \frac{\partial}{\partial x_j} \varphi_k$$

etc!

- Équation de continuité.

Ω fixe

La variation de la masse totale m contenue dans Ω est égale à l'opposé du flux sortant à travers la surface $\partial\Omega$.

$$m = \int_{\Omega} \rho dx \quad \frac{dm}{dt} = - \int_{\partial\Omega} \rho u \cdot n d\gamma$$

donc $\int_{\Omega} \left\{ \frac{\partial \rho}{\partial t} + \operatorname{div}(\rho u) \right\} dx = 0$

Notre $\forall \Omega \rightarrow \frac{\partial \rho}{\partial t} + \operatorname{div}(\rho u) = 0$

- Part de la du domaine mobile avec le fluide $\Sigma(t)$ en mouvement avec le fluide

$$I = \int_{\Sigma(t)} \varphi dx.$$

$$\frac{dI}{dt} = \int_{\Omega_0} \varphi(x(t_0, x_0; t), t) \det\left(\frac{dx}{dx_0}\right) dx_0.$$

Jacobian J de la transformation

$$\frac{dJ}{dt} = J(\operatorname{div} u) \quad \{ \text{Euler} \}.$$

[preuve (cf Serrin page 131)]

$$A_i^\alpha = \text{cofacteur de } \frac{\partial x^i}{\partial x^\alpha}$$

on a: $\sum \frac{\partial x^i}{\partial x^\alpha} A_j^\alpha = J \delta_j^i$

alors $\frac{dJ}{dt} = \frac{d}{dt} \left(\frac{\partial x^i}{\partial x^\alpha} \right) A_i^\alpha, \sum_{i,\alpha} \text{ par dérivation du déterminant}$

$$= \frac{\partial u^i}{\partial x^\alpha} A_i^\alpha = \underbrace{\frac{\partial u^i}{\partial x^\beta}}_{J \delta_i^\beta} \underbrace{\frac{\partial x^\beta}{\partial x^\alpha} A_i^\alpha}_{\operatorname{div} u} = \underbrace{\frac{\partial u^i}{\partial x^i}}_{J} J \operatorname{div} u$$

Alors $\frac{dI}{dt} = \int_{\Omega_0} \left(\frac{d\varphi}{dt} J + \varphi J \operatorname{div} u \right) dx_0$

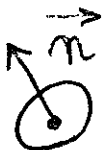
$$\frac{dI}{dt} = \int_{\Omega} \left(\frac{d\varphi}{dt} + \varphi \operatorname{div} u \right) dx. \quad \{ \text{peut être utile!} \}$$

Masse: $\varphi \equiv \rho \quad \frac{d\rho}{dt} + \rho \operatorname{div} u = 0 \quad (\text{autre forme}).$

$\frac{d}{dt} \int_{\Sigma(t)} \varphi dx =$	$\int_{\Omega} \left\{ \frac{d\varphi}{dt} + \varphi \operatorname{div} u \right\} dx =$	$\int_{\Omega} \left\{ \frac{\partial \varphi}{\partial t} + \operatorname{div}(\varphi u) \right\} dx$
--	--	---

5) Contraintes

- Vecteur des contraintes de Cauchy (1827)



d'action du fluide sur une surface $d\vec{s} = \vec{n} d\sigma$ est un vecteur \vec{t} , fonction de la position x , le temps t , l'orientation de la normale \vec{n} , la surface $d\sigma$.

- Conservation de l'impulsion

$$\frac{d}{dt} \int_{\Omega} \rho u dx = \int_{\Omega} \rho f dx + \int_{\partial\Omega} t d\sigma$$

↑ forces de volumes

Ω de volume ℓ^3

on divise chaque côté de l'égalité précédente par ℓ^2

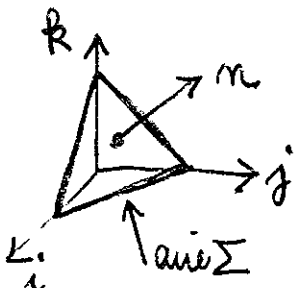
on fait tendre Ω vers 0

les intégrandes sont bornées \rightarrow termes $\int_{\partial\Omega} t d\sigma$ tendent vers 0

$$\rightarrow \lim_{\Omega \rightarrow 0} \frac{1}{\ell^2} \int_{\partial\Omega} t d\sigma = 0.$$

Le vecteur des contraintes est en équilibre local.

- $n \mapsto t(n)$ est linéaire



face - i : aux $n_1 \Sigma$; - j : $n_2 \Sigma$; - k : $n_3 \Sigma$

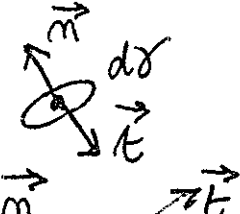
$$t(n) + m_1 t(-i) + m_2 t(-j) + m_3 t(-k) = 0$$

part et d'autre d'une facette

$$\hookrightarrow \text{équilibre} \quad t(n) + t(-n) = 0.$$

D'où le résultat

- Deux cas particuliers } avant le point précédent } 8

*  $\vec{t} = -p \vec{n} d\sigma$
 $\vec{t} \parallel \vec{n}$ compression

*  $\vec{t} \perp \vec{n}$ cisaillement.

- Tenseur des contraintes

ou explicite la linéarité de $t(n)$ à l'aide de la matrice σ ou "Tenseur des contraintes"

$$t_i = \sum_j \sigma_{ij} n_j$$

Comme : si $n=0$, $\sigma_{ij} = -p \delta_{ij}$ (hydrostatique)

- Conservation du moment cinétique

$$\frac{d}{dt} \int_{\Omega} \mathbf{x} \times \rho \mathbf{u} \, d\mathbf{x} = \int_{\Omega} \mathbf{x} \times \rho \mathbf{f} \, d\mathbf{x} + \int_{\partial\Omega} \mathbf{x} \times \mathbf{t} \, d\sigma$$

Même analyse dimensionnelle que pour la conservation de l'impulsion

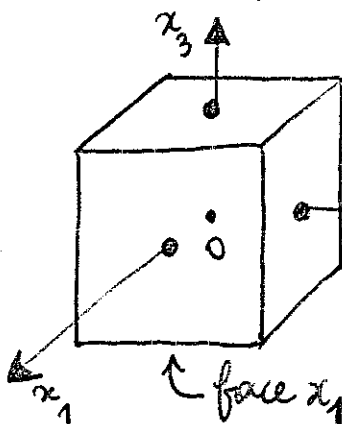
Donc pour toute surface fermée $\partial\Omega$,

$$\frac{1}{\ell^3} \int_{\partial\Omega} (\mathbf{x} \times \mathbf{t}) \, d\sigma = 0$$

{ Variation du moment cinétique = moment des forces appliquées au système }.

• Symétrie du tenseur des contraintes

Ecrire la relation précédente dans un cube suffisamment petit, de côté ℓ , centré sur l'origine



$$\mathbf{x} \times \mathbf{t}(\vec{\tau}) = \begin{cases} x_2 \sigma_{31} - x_3 \sigma_{21} \\ x_3 \sigma_{11} - x_1 \sigma_{31} \\ x_1 \sigma_{21} - x_2 \sigma_{11} \end{cases}$$

$$\int_{x_1=\pm\frac{\ell}{2}} x_2 \sigma_{**} dx = 0 \text{ par symétrie}$$

$$\text{de même, } \int_{x_1=\pm\frac{\ell}{2}} \mathbf{x} \times \mathbf{t} = \int_{x_1=\pm\frac{\ell}{2}} \mathbf{x} \times \mathbf{t}$$

car seuls les termes en x_1 contribuent et ils changent de signe, et $\vec{\tau}$ change aussi de signe.

* Il vient alors $\int_{x_1=\pm\frac{\ell}{2}} \mathbf{x} \times \mathbf{t} = \ell^3 \begin{cases} \sigma_{31} \\ \sigma_{21} \end{cases}$

en fait de même pour les quatre autres faces, en faisant attention au second indice :

$$\int_{x_2=\pm\frac{\ell}{2}} \mathbf{x} \times \mathbf{t} dx = \ell^3 \begin{cases} \sigma_{32} \\ -\sigma_{22} \end{cases}$$

$$\int_{x_3=\pm\frac{\ell}{2}} \mathbf{x} \times \mathbf{t} dx = \ell^3 \begin{cases} -\sigma_{23} \\ \sigma_{13} \\ 0 \end{cases}$$

* $\int_{22} \mathbf{x} \times \mathbf{t} dx = 0$ donne par sommation $\tau_{ij} = \sigma_{ji} \forall (i,j)$

• Équation de l'impulsion.

$$\frac{d}{dt} \int_{\Omega} \rho u \, dx = \int_{\Omega} \rho f \, dx + \int_{\partial\Omega} t \, d\gamma$$

on développe $\frac{d}{dt}$ sur la i^{e} composante

t_i sur la normale : $\sigma_{ij} n_j$

on intègre par parties à l'envers le terme de bord:

$$\int_{\partial\Omega} t_i \, d\gamma = \int_{\Omega} \frac{\partial}{\partial x_j} \sigma_{ij} \, dx \quad (\text{sommaison } j)$$

on en déduit la forme conservative:

$$\frac{\partial}{\partial t} (\rho u_i) + \frac{\partial}{\partial x_j} (\rho u_i u_j) - \frac{\partial}{\partial x_j} \sigma_{ij} = \rho f_i$$

• Forme non conservative

Développer le dérivé des produits

$$\frac{d}{dt} (\rho u) = \rho \frac{du}{dt} + \frac{de}{dt} u = \rho \frac{du}{dt} - \rho u \operatorname{div} u.$$

$$\frac{d}{dt} \int_{\Omega} \rho u \, dx = \int_{\Omega} \left\{ \frac{d}{dt} (\rho u) + \rho u \operatorname{div} u \right\} dx \quad \{ \text{cf p6} \}$$

Donc

$$\frac{du}{dt} - \frac{1}{\rho} \operatorname{div} \sigma = f$$

$$\text{ou } \frac{\partial u}{\partial t} + u \cdot \nabla u - \frac{1}{\rho} \operatorname{div} \sigma = f.$$

6) Modélisation des contraintes

- fluide parfait

on ne tient pas compte du champ de vitesse (du gradient du champ de vitesse en fait) pour modéliser le tenseur des contraintes. Tout se passe comme pour l'hydrostatique !

$$\sigma_{ij} = -p \delta_{ij}$$

- fluide Newtonien. (Stokes, 1845)

$$\sigma_{ij} = -p \delta_{ij} + \tau_{ij}$$

τ_{ij} : contraintes visqueuses, fonctions a priori (du gradient) du champ de vitesses.

* invariance par translation

τ_{ij} ne dépend que du gradient du champ de vitesses.

$$\tau_{ij} = 0 \text{ si } u(x) = \text{côte}$$

* invariance par rotation

$\tau_{ij} = 0$ si le fluide suit (localement!) un mouvement de rotation.

$$\frac{\partial u_i}{\partial x_j} = \underbrace{\frac{1}{2} \left(\frac{\partial u_i}{\partial x_j} + \frac{\partial u_j}{\partial x_i} \right)}_{\text{deformation}} + \underbrace{\frac{1}{2} \left(\frac{\partial u_i}{\partial x_j} - \frac{\partial u_j}{\partial x_i} \right)}_{\text{rotation}}$$

$$\nabla u = D_{ij} + \Omega_{ij}$$

τ = fonction de D_{ij} seulement

* Homogénéité spatiale

τ ne dépend de la position x que par l'intermédiaire de la variation par rapport à x de D .

* Isotropie de l'espace

Pas de direction privilégiée.

Ahrens (Théorème, Truesdell 1952) (Serini p231)

$$\tau = \alpha I + \beta D + \gamma D^2.$$

avec α, β, γ fonctions des invariants principaux de D , c'est à dire des trois fonctions symétriques des valeurs propres de D (trace, det, ...).

* Linéarité

$D \mapsto \tau(D)$ linéaire

on ne regarde qu' au premier ordre les effets du gradient du champ de vitesse sur les contraintes visqueuses τ .

$$\tau = 2\mu D + \underbrace{\left(\kappa - \frac{2}{3}\mu\right)}_{\text{dir } u} (\text{tr } D) I$$

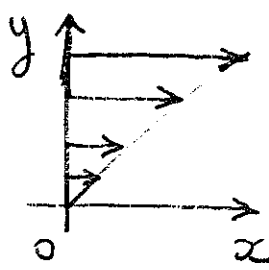
μ : viscosité dynamique

κ : viscosité en volume

$\mu > 0, \kappa > 0$

(admis pour le moment)

- Ecoulement de cisaillement simple



$$\mathbf{u} = \begin{cases} u(y) \\ 0 \\ 0 \end{cases}$$

$$\mathbf{D} = \begin{pmatrix} 0 & \frac{1}{2} \frac{du}{dy} & 0 \\ \frac{1}{2} \frac{du}{dy} & 0 & 0 \\ 0 & 0 & 0 \end{pmatrix}$$

$$\boldsymbol{\tau} = 2\mu \mathbf{D} + \mathbf{0} = \begin{pmatrix} 0 & \mu \frac{du}{dy} & 0 \\ \mu \frac{du}{dy} & 0 & 0 \\ 0 & 0 & 0 \end{pmatrix}$$

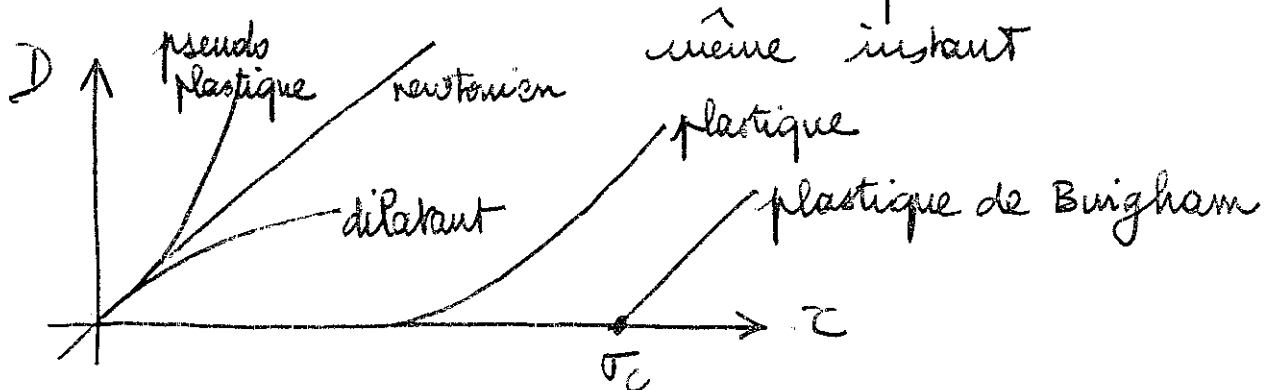
*  $\tau = \boldsymbol{\tau} \cdot \mathbf{n} = \mu \frac{du}{dy} \vec{i}$
 μ = viscosité de cisaillement

*  $\tau = \boldsymbol{\tau} \cdot \underline{\mathbf{n}} = -\mu \frac{du}{dy} \vec{j}$
 Moins intuitif ?!

Valeurs numériques (Landau) p65	μ en g/(cm.s)	$\frac{\mu}{\rho}$ en cm^2/s
eau	0,01	0,01
air	$1,8 \cdot 10^{-4}$	0,150
alcool	0,018	0,022
mercure	0,0156	0,0012

- Fluide non newtonien } guyon p 145 et suiv }
- * pas d'effet de mémoire

$$\text{ie } \tau(x,t) = \text{fonction } [D(x,t)]$$



- 1) dilatant: la viscosité $\mu = \frac{\tau}{D}$ augmente avec la contrainte appliquée
 ex) table mouillée (glisse à faible vitesse, frotte si le gradient de vitesse est plus fort)
- 2) pseudo plastique
 la viscosité effective diminue lorsque la contrainte croît (les macromolécules s'alignent parallèlement à l'écoulement)
 ex) peintures: s'étaisent au pinceau et ne coulent pas avec d'impunité ...
- 3) plastique: modèle de Bingham
 aucun écoulement prisqu'à une valeur critique τ_c de la contrainte, puis relation linéaire entre D et τ . (vitesse de déformation, contrainte)

écoulement bouchon jusqu'à la valeur critique (vitesse indépendante de la distance aux parois) car le cisaillement n'est pas encore créé, puis profil réparti sous forte contrainte

(ex) boues aquifères

pâte dentifrice

qui peut faire ($\sigma_c \approx 50 \text{ N/m}^2$; $\mu_c = 3 \cdot 10^{-4}$)

(ex) boue de forage

coule facilement au fond du puits sous la pression de pompage

remonte les débris de roche vers la surface alors que ceux-ci chutent au fond du puits quand la circulation est arrêtée.

* Effet de mémoire

$$\tau(x, t) = \text{fonction } \{ D(x, z), z \leq t \}$$

1) fluide viscoélastique (garder la linéarité !)

Variation d'énergie interne due aux deformations de structure induites par l'écoulement

(ex) pâte à pain,

filles de textile artificielles gelées

$$\text{Nombre de Deborah} = \frac{\tau}{T}$$

τ : temps de relaxation microscopique

T : temps caractéristique d'une perturbation

$\tau/T \ll 1$ fluide classique

$\tau/T \gg 1$ réponse de type "solide"

2) fluide thixotrope

la viscosité effective diminue avec le temps
pas d'incompatibilité avec la plasticité !

ex) solutions d'argiles (bentonites)
polymères
suspensions.

7) Hydrodynamique et dynamique des gaz

- Equations

* masse

$$\frac{dp}{dt} + p \operatorname{div} u = 0$$

* impulsion $p \frac{du}{dt} + \nabla p - \mu \Delta u - (\kappa + \frac{\mu}{3}) \nabla(\operatorname{div} u) = \rho f$

$$\sigma = -\mu I + 2\mu D + (\kappa - \frac{2}{3}\mu) \operatorname{div} u I$$

$$(\operatorname{div} \sigma)_i = -\partial_i p + \mu \partial_j (\partial_i u_j + \partial_j u_i) \\ + (\kappa - \frac{2}{3}\mu) \partial_i (\operatorname{div} u)$$

$$\operatorname{div} \sigma = -\nabla p + \mu \Delta u + (\kappa + \frac{\mu}{3}) \nabla(\operatorname{div} u)$$

* Décompte $1+3=4$ équations

$1+3+1=5$ inconnues.

$$\rho \quad u \quad p$$

→ Malgré la modélisation du tenseur des contraintes, le problème de la mécanique des fluides ne peut pas être fermé (à ce niveau!).

- Hydrodynamique

$\rho \equiv \rho_0 = \text{côte}$ $\forall z, \forall t$
 les liquides.

$$\left\{ \begin{array}{l} \text{div } u = 0 \\ \rho_0 \frac{du}{dt} + \nabla p - \mu \Delta u = \rho_0 f \end{array} \right. \quad \begin{array}{l} \text{continuité} \\ \text{Navier Stokes} \\ 1827 - 1845 \end{array}$$

Décompte 4 équations, 4 inconnues (u, p)

(R) Pas d'équation pour la pression

Peut être né comme multiplicateur de la
 grange associé à la continuité de
 divergence nulle du champ de vitesse.

- Gaz isentropique

La pression est une fonction donnée de
 la masse volumique.

$$p = G(\rho)$$

ex * isentropique $\frac{p}{\rho^\gamma} = \text{côte}$ $\gamma = 7/5$

* isotherme $\frac{p}{T} = \text{côte}$

$$\left\{ \begin{array}{l} \frac{\partial p}{\partial t} + \operatorname{div}(pu) = 0 \\ \frac{\partial}{\partial t}(pu) + \operatorname{div}(pu \otimes u) + \nabla p(\varepsilon) - \mu \Delta u \\ \quad - (K + \frac{\mu}{3}) \nabla(\operatorname{div} u) = pf. \end{array} \right.$$

Emploi de la forme conservative des équations

Décompte 4 équations
 4 inconnues (p, u) .

→ Modèle déconseillé pour la dynamique des gaz, qui cache la conservation de l'énergie et la dissipation de l'entropie.

- Dissipation de l'énergie cinétique d'un fluide incompressible

$$E_C = \frac{1}{2} \int_{\Omega} p u^2 dx$$

$$\frac{d}{dt} E_C \leq 0, \text{ i.e. } \frac{d}{dt} \int_{\Omega(t)} p \frac{u^2}{2} dx \leq 0 \quad \text{hyp?}$$

$$\begin{aligned} \frac{d}{dt} E_C &= \int_{\Omega} \left\{ \frac{d}{dt} \left(p \frac{u^2}{2} \right) + p \frac{u^2}{2} \operatorname{div} u \right\} dx \\ &= \int_{\Omega} \frac{u^2}{2} \underbrace{\left(\frac{dp}{dt} + p \operatorname{div} u \right)}_0 dx + \int_{\Omega} pu \frac{du}{dt} dx \\ &= \int_{\Omega} pu \cdot f dx + \int_{\Omega} u \operatorname{div} \sigma dx \end{aligned}$$

pp: tous forces extérieures et sans apport surfaçique d'énergie, l'énergie cinétique d'un fluide qui se soit dans un mouvement est décroissante.

$$\int_{\Omega} u \cdot \nabla u \, dx = - \int_{\Omega} \nabla u \cdot \sigma \, dx + \int_{\partial\Omega} u \cdot t \, d\gamma$$

avec les indices, le terme de volume devient :

tenseur des contraintes de Cauchy

$$- \int_{\Omega} (\partial_j u_i) (-p \delta_{ij} + \mu (\partial_i u_j + \partial_j u_i)) \, dx$$

$$= -\mu \int_{\Omega} \frac{1}{2} (\partial_j u_i + \partial_i u_j)^2 \, dx - \underbrace{\mu \int_{\Omega} (\partial_j u_i - \partial_i u_j)(\partial_i u_j + \partial_j u_i) \, dx}_{\text{null after summation over } i,j}$$

$$* \quad \frac{d}{dt} E_C = \underbrace{\int_{\Omega} \rho u \cdot f \, dx + \int_{\partial\Omega} u \cdot t \, d\gamma}_{\text{apport extérieur}} - 2\mu \underbrace{\int_{\Omega} (D(u))^2 \, dx}_{\leq 0}$$

Donc $\mu \geq 0$.

8) Thermodynamique

* volume V masse M énergie interne E

Il existe une entropie S et

$$S = \Sigma(M, V, E)$$

S homogène de degré 1

S concave du triplet M, V, E .

(Carathéodory, 1905)

* dérivées $dE = T dS - p dV + \mu dM$

T température

p pression

μ potentiel chimique massique.

* mécanique des milieux continus

→ raisonner par unité de masse

$$V = \frac{1}{\rho} M$$

$$E = e M$$

$$S = s M$$

$$de = T ds - p d\left(\frac{1}{\rho}\right) + \left(\mu + T s - \frac{e}{\rho}\right) \underbrace{\frac{dM}{M}}$$

o en mécanique
des milieux continus.

- * La pression est à priori une fonction donnée de l'énergie interne e et du volume spécifique $\varepsilon = \frac{1}{\rho}$

$$ds = \frac{1}{T} de + \frac{R}{T} d\left(\frac{1}{\rho}\right)$$

idem pour la température !

- * exemple: gaz parfait polytropique.

$$e = \text{cste } \rho^{\frac{\gamma-1}{\gamma}} \exp\left(\frac{A}{c_v}\right).$$

$$\frac{\partial e}{\partial s}(s, \varepsilon) = \frac{e}{c_v} = T$$

$$\begin{aligned} \frac{\partial e}{\partial c}(s, \varepsilon) &= -\frac{\partial p}{\partial c} \frac{\partial e}{\partial p}(s, p) = -p^2 \frac{\partial e}{\partial p}(s, p) \\ &= -p^2 (\gamma-1) \frac{e}{p} \end{aligned}$$

$$\text{Donc } p = (\gamma-1) \rho e = (\gamma-1) c_v \rho T$$

équation d'état du gaz parfait.

- * ~~(non)~~ si $T \geq 0$, $(s, \varepsilon) \mapsto e(s, \varepsilon)$ est convexe
changement de variable bijectif $e(s)$ à ε fixé
i.e. $\tilde{e}(s(e, \varepsilon), \varepsilon) = e \quad \forall e, \forall \varepsilon$.

$T \geq 0$ $\tilde{e}(s, \varepsilon)$ est fu ↑ de s à ε fixé

$$0 \leq \theta \leq 1 . \quad e_1 = \tilde{e}(s_1, \varepsilon_1)$$

$$e_2 = \tilde{e}(s_2, \varepsilon_2)$$

$$\tilde{e}(\theta s_1 + (1-\theta)s_2, \theta z_1 + (1-\theta)z_2) \leq ?$$

$\theta s_1 + (1-\theta)s_2 \leq \tilde{s}(\theta e_1 + (1-\theta)e_2, \theta z_1 + (1-\theta)z_2)$
concavité de \tilde{s} (ou Σ) .

$$\begin{aligned} \text{Donc } \tilde{e}(\theta s_1 + (1-\theta)s_2, \theta z_1 + (1-\theta)z_2) \\ \leq \tilde{e}(\tilde{s}(\theta e_1 + (1-\theta)e_2, \theta z_1 + (1-\theta)z_2), \theta z_1 + (1-\theta)z_2) \\ = \theta e_1 + (1-\theta)e_2 \quad (\text{cf plus haut!}) \end{aligned}$$

* Inégalités thermodynamiques

$$d^2e = \begin{pmatrix} \frac{\partial T}{\partial s} & \frac{\partial T}{\partial z} \\ -\frac{\partial P}{\partial s} & -\frac{\partial P}{\partial z} \end{pmatrix} \quad \frac{\partial T}{\partial z} = -\frac{\partial P}{\partial s} .$$

$$\frac{\partial T}{\partial s} \geq 0 \quad -\frac{\partial P}{\partial z} \geq 0 \quad \frac{\partial T}{\partial s} \frac{\partial P}{\partial z} + \frac{\partial P}{\partial s} \frac{\partial T}{\partial z} \geq 0$$

$$\underbrace{c^2 \frac{\partial P}{\partial P}(\rho, s)}_{C^2} \geq 0 .$$

C^2 came de la vitesse du son,
qui existe bien!

(R) $c^2 = \frac{\gamma P}{\rho}$ pour un gaz parfait polytropique
 $c = 340,3$ m/s dans l'eau à $20^\circ C$.

3) Conservation de l'énergie.

* $\frac{d}{dt} \int_{\Omega(t)} (\rho \frac{u^2}{2} + \rho e) dx = \text{travail des forces + chaleur par unité de temps}$
 $= \dot{W} + \dot{Q} \quad (1^\circ \text{ ppe thermo !})$

travail $\dot{W} = \int_{\Omega} \rho u \cdot f dx + \int_{\partial\Omega} t \cdot u d\gamma$

chaleur $\dot{Q} = - \int_{\partial\Omega} q \cdot n d\gamma$

\vec{q} = flux de chaleur par conduction
 (pas de source de chaleur volumique)

* forme locale

Compte tenu de la formule page 6 et de la définition du tenseur des contraintes, il vient

$$\frac{\partial}{\partial t} \left[\rho \left(\frac{u^2}{2} + e \right) \right] + \operatorname{div} \left[\rho u \left(\frac{u^2}{2} + e \right) \right] - \operatorname{div}(u \cdot \sigma) + \operatorname{div} q = \rho f u$$

* Modélisation du flux de chaleur

$$q = -k \nabla T \quad \text{loi de Fourier (1822)}$$

Justification? (on s'agit!?)

* le problème de la équa flu scelle alors fermé

5 équations [1+3+1] de conservation

7 inconnues ρ, u, e, p, T {1+3+1+1+1}

2 relations thermodynamiques (état, énergie)

10) Dissipation de l'entropie

* Second principe de la thermodynamique.

$$\frac{d}{dt} \int_{\Omega(t)} \rho s \, dx \geq 0$$

$$\frac{d}{dt} \int_{\Omega(t)} \rho s \, dx = \int_{\Omega} \left\{ \frac{d}{dt} (\rho s) + \rho s \operatorname{div} u \right\} dx$$

$$= \int_{\Omega} \rho \frac{ds}{dt} + s \left(\frac{dp}{dt} + p \operatorname{div} u \right) dx = \int_{\Omega} \rho \frac{ds}{dt} dx$$

$$= \int_{\Omega} \frac{\rho}{T} \left(\frac{de}{dt} + p \frac{d}{dt} \left(\frac{1}{\rho} \right) \right) dx$$

$$= \int_{\Omega} \frac{1}{T} \left[\frac{d}{dt} (\rho e) - e \frac{dp}{dt} - \frac{p}{\rho} \frac{de}{dt} \right] dt$$

$$\frac{d}{dt} (\rho e) = \frac{d}{dt} \left(\rho e + \rho \frac{u^2}{2} \right) - \frac{u^2}{2} \frac{dp}{dt} - \rho u \frac{du}{dt}$$

$$= -\rho \left(e + \frac{u^2}{2} \right) \operatorname{div} u + \operatorname{div}(u \cdot \sigma) - \operatorname{div} q + \rho u \cdot f - \frac{u^2}{2} \frac{dp}{dt} + u \cdot \nabla p + u \operatorname{div} \tau - \rho u \cdot f$$

$$= -\rho e \operatorname{div} u - p \operatorname{div} u + (\partial_j u_i) \tau_{ij} - \operatorname{div} q$$

$$* \frac{d}{dt} \int_{\Omega(t)} \rho s \, dx = \int_{\Omega} \left\{ (\partial_j u_i) \tau_{ij} - \operatorname{div} q \right\} \frac{dx}{T}$$

Voir aussi Candelier p 123

$$* (\partial_j u_i) \tau_{ij} = \left\{ D_{ij} + \frac{1}{2} (\partial_j u_i - \partial_i u_j) \right\} \left\{ 2\mu D_{ij} + \left(\kappa - \frac{2}{3}\mu \right) \operatorname{div} u \delta_{ij} \right\}$$

$$= 2\mu D_{ij} D_{ij} + \mu \left\{ (\partial_j u_i)^2 - (\partial_i u_j)^2 \right\} + \left(\kappa - \frac{2}{3}\mu \right) (\operatorname{div} u)^2$$

je pose $D_{ij} = \xi_{ij} + \frac{1}{3} \operatorname{div} u \delta_{ij}$ (Landau p 233)

alors $D_{ij} D_{ij} = (\xi_{ij})^2 + \frac{2}{3} \operatorname{div} u \xi_{ij} \delta_{ij} + \underbrace{\frac{1}{9} (\operatorname{div} u)^2 (\delta_{ij})^2}_0$

$$\sum_i \xi_{ii} = 0 \text{ car } \operatorname{tr} D = \operatorname{div} u.$$

$$\text{et } \sum_{ij} (D_{ji})^2 = \sum_{ij} (\xi_{ij})^2 + \frac{1}{3} (\operatorname{div} u)^2.$$

ainsi $(\partial_j u_i) \tau_{ij} = 2\mu \sum_{ij} (\xi_{ij})^2 + \kappa (\operatorname{div} u)^2.$

$$* - \int_{\Omega} (\operatorname{div} q) \frac{dx}{T} = \int_{\Omega} -k \nabla T \cdot \nabla \left(\frac{1}{T} \right) + \int_{\partial\Omega} \frac{q \cdot n}{T} dx$$

enfin $\frac{d}{dt} \int_{\Omega} \rho \cdot v dx = \int_{\Omega} 2\mu \left(D_{ij} - \frac{1}{3} \operatorname{div} u \delta_{ij} \right)^2 \frac{dx}{T}$

$$+ \int_{\Omega} \kappa (\operatorname{div} u)^2 \frac{dx}{T} + \int_{\Omega} \frac{k}{T^2} (\nabla T)^2 dx - \int_{\partial\Omega} q \cdot n \frac{dx}{T}$$

ce qui montre (positivité de la forme quadratique)

avec $\mu > 0, \kappa \geq 0, k \geq 0.$